УДК 621.777:669.715

## А.Н. Прудников, М.В. Попова, В.А. Прудников Сибирский государственный индустриальный университет

## ВОЗДЕЙСТВИЕ ДЕФОРМАЦИИ НА СТРУКТУРУ И СВОЙСТВА СИЛУМИНОВ\*

В настоящее

время некоторые металлические материалы не могут быть использованы в промышленности для получения изделий путем обработки давлением из-за их низкой пластичности или полного ее отсутствия. К таким материалам можно отнести заэвтектические силумины. Первые работы по деформации таких силуминов появились сравнительно недавно - в конце ХХ века, хотя еще в 1930-ые годы С.М. Воронов установил возможность обработки давлением сплавов, содержащих до 20 % rhtvybz [1]. В последние несколько десятилетий появились работы, посвященные различного вида пластической деформации высококремнистых силуминов. Так, в работах [2 – 6] показана связь химического состава заэвтектических силуминов с ресурсом пластичности и с энергосиловыми и термоскоростными параметрами процессов горячего прессования и прокатки, осуществляемых различными способами. В работах, посвященных технологиям изготовления заготовок и поршней двигателей обработкой давлением из легированных заэвтектических силуминов [7 – 12], результаты получены в промышленных условиях. Однако работ, выполненных по этой тематике в области заэвтектических силуминов, недостаточно. Кроме того, необходимо учитывать присутствие в алюминиевых сплавах водорода (объем которого составляет 60 - 90 % от общего объема газов), который способен взаимодействовать с металлом в процессе его деформирования [13]. Сведения, приводимые в литературе, в основном носят отрывочный характер и, в подавляющем большинстве, не учитывают связь содержания водорода со структурой и механическими свойствами при деформации силуминов.

В настоящей работе проведено исследование влияния деформации на микроструктуру,

содержание водорода и механические свойства силуминов, содержащих 11 - 30 % кремния.

В работе исследовали бинарные эвтектические и заэвтектические силумины, содержащие 11, 15, 20, 25 и 30 % кремния. Сплавы готовили в электрической печи сопротивления с карбидокремниевыми нагревателями из технически чистого алюминия А6 и кремния Кр0. Силумины, содержащие 15 – 30 % крмения, модифицировали фосфористой медью МФ-1 (содержание фосфора составляло примерно 10 %) в количестве 0,1 % от массы расплава. Содержание фосфора в сплавах составляло 0,008 - 0,0011 % по показаниям эмиссионного спектрометра ARL 4460. При выплавке силумина эвтектического состава модифицирования не проводили. Заливку проводили в алюминиевую форму квадратного сечения с размером стороны 80 мм и высотой 250 мм. Для получения заготовок под деформацию от слитка отрезали донную (высотой 15 мм) и прибыльную (высотой 50 мм) части. Масса заготовки составляла 3,20 – 0,05 кг. Заготовки перед деформацией подвергали гомогенизирующему отжигу при температуре 500 ± 10 °C в течение 2 ч. Температура нагрева заготовок под ковку, которую проводили на пневматическом молоте МВ 412 с массой падающих частей 150 кг, составляла 510 – 550 °C в зависимости от содержания кремния в силумине. Заготовки из сплавов, содержащих 11 -15 % кремния, благодаря достаточной пластичности были прокованы на пруток сечением 15×15 мм без промежуточных отжигов. Температура окончания ковки составляла 350 - 400  $^{\circ}$ С. Для сплавов, содержащих 20-30 % крмения, в процессе ковки проводили промежуточные отжиги при температуре 510 – 550 °C в течение 1,0-1,5 часа. Сечение прутка  $15\times15$  мм было получено после 3 - 5 циклов ковки. Величина общего коэффициента укова ( $K_{\text{общ}}$ ) для прутков из всех исследуемых сплавов составляла 28. Постдеформационный отпуск поковок проводили при температуре 520 ± 10 °C в течение 2 ч.

<sup>\*</sup> Работа выполнена под руководством профессора В.К. Афанасьева.

Для исследования микроструктуры сплавов и определения объемных долей структурных составляющих использовали оптический анализатор «EPIQANT» (Karl Zeiss).

Механические характеристики определяли по испытаниям на статическое растяжение в соответствии с ГОСТ 1497 – 84 на цилиндрических образцах с диаметром рабочей части 6 мм на машине «Instron – 3369». Для измерения микротвердости α-твердого раствора алюминия в силуминах использовали прибор ПМТ-5.

Рентгеноструктурный анализ проводили с помощью рентгеновского дифрактометра ДРОН-3,0 в кобальтовом  $K_{\alpha}$ -излучении с длиной волны ( $\lambda$ ) 0,1790 нм. Для расчета параметра решетки  $\alpha$ -твердого раствора алюминия использовали линию (331) $_{\alpha}$  с поправками на преломление и поглощение.

Содержание водорода определяли методом вакуумной экстракции на газоанализаторе B-1 с использованием образцов диам. 8 мм и длиной 45 мм.

Известно, что в алюминиевых сплавах со структурой твердого раствора после горячей пластической деформации — содержание водорода уменьшается, а после холодной деформации — увеличивается [14, 15]. Деформация алюминиево-кремниевых сплавов приводит к изменению содержания водорода не только в твердом растворе, но и в выделениях эвтектического и первичного кремния.

На рис. 1 показано влияние содержания кремния и состояния сплава на содержание водорода, определенное в сплавах A1 – 11 ÷ 30 % Si. В литом состоянии в силуминах большая часть водорода методом вакуумной экстракции не определяется, так как он находится в связанном виде в выделениях фазы β-Si и на межфазных границах [16]. Резкое увеличение экстрагированного количества водорода в горячедеформированном сплаве, видимо, связано с его перераспределением из выделений фазы β-Si в твердый раствор. После холодной деформации содержание водорода в сплавах увеличивается еще значительнее – до  $10 - 30 \text{ см}^3/100 \text{ г метал-}$ ла, а отжиг деформированной заготовки существенно снижает газосодержание. Объяснить полученные результаты можно, если учесть тот факт, что при деформации силумина под действием повышенных температур и напряжений, возникающих в металле, водород переходит из выделений фазы β-Si и с межфазных границ в матричный твердый раствор алюминия. Этот процесс вызывает резкое увеличение содержания экстрагированного водорода в деформированном силумине. В то же время при горячей

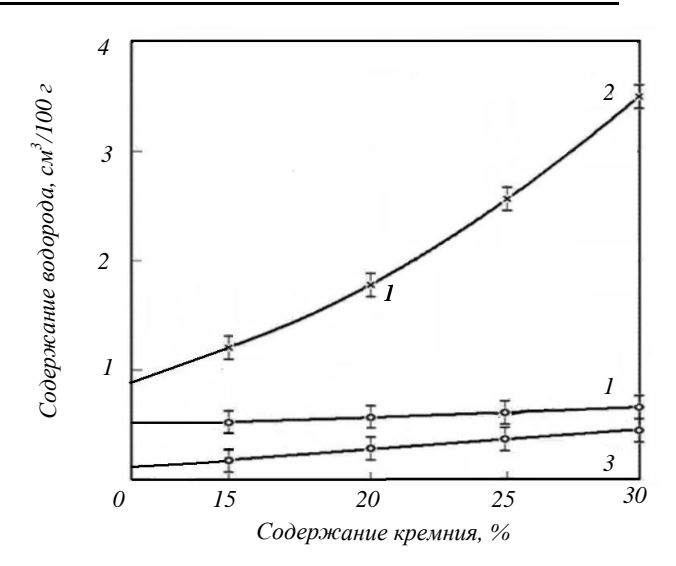


Рис. 1. Влияние содержания кремния и состояния сплава на количество экстрагированного водорода из силуминов: 1 – литое состояние; 2 – состояние после отжига при 500 °C в течение 2 ч и горячей ковки; 3 – состояние после постдеформационного отжига при 520 °C в течение 2 ч

деформации протекает процесс дегазации, то есть выхода водорода из твердого раствора алюминия в атмосферу. По-видимому, соотношение интенсивностей протекания этих процессов и определяет содержание водорода в заготовке после его деформации. Можно полагать, что именно поэтому резко возрастает содержание водорода в заэвтектических силуминах при холодной деформации: содержание водорода повышается в твердом растворе весьма интенсивно, а его дегазация практически не протекает при комнатной температуре.

С повышением содержания кремния в силуминах в их структуре увеличивается объемная доля кристаллов первичного и эвтектического кремния и, следовательно, возрастает количество водорода, связанного в них. Такое положение при деформации литых сплавов приводит к более интенсивному росту содержания экстрагированного водорода в деформированных заготовках, имеющих в своем составе большее количество кремния. Для высококремнистых силуминов с содержанием кремния более 25 % уже при незначительных степенях деформации при ковке и прокатке содержание водорода в твердом растворе резко возрастает (до 3 - 4 см $^3/100$  г и выше) и только с помощью длительного отжига можно снизить его содержание.

Указанные изменения содержания водорода при деформации силуминов в наибольшей мере справедливы для заэвтектических сплавов, в структуре которых содержится значительное количество кристаллов первичного кремния (КПК). Если же с помощью наводороживания

расплава и увеличения скорости кристаллизации в слитках из заэвтектических сплавов подавлено образование первичных кристаллов [17 – 19], то увеличение содержания водорода при последующей деформации происходит в меньшей мере. Например, при деформации сплава Al-20% Si с эвтектической структурой выделение количества экстрагированного водорода намного меньше (0,8 см³/100 г), чем в сплаве того же состава, модифицированном фосфористой медью (1,8 см³/100 г).

Горячая деформация совместно с отжигом значительно уменьшает содержание водорода в силуминах и приводит к существенным изменениям их структуры. Причем наибольшие изменения микроструктуры фиксируются в зонах с максимальной степенью деформации. Так как при прокатке максимальные напряжения и деформации сосредоточены в поверхностных слоях заготовок, то именно здесь в наибольшей мере измельчаются КПК и протекает процесс дегазации при отжиге, который приводит к уменьшению травимости выделений первичного кремния и твердого раствора. После ковки заготовок максимальные структурные изменения происходят в центральной части, а при прессовании их расположение определяется схемой истечения металла.

Микроструктура силуминов, содержащих 11 и 20 % кремния, в литом состоянии и после горячей ковки с общим коэффициентом укова 28 приведена на рис. 2. Можно констатировать, что деформация с отжигами приводит к измельчению КПК, сфероидизации выделений эвтектического кремния и значительному увеличению количества а-твердого раствора. С увеличением суммарной степени деформации усиливается строчечное расположение как первичных, так и эвтектических выделений кремния в структуре поковок. Причем в их центральной зоне формируется структура с минимальным количеством КПК и более мелкой глобулированной эвтектикой, чем в остальных зонах, что объясняется возникновением максимальных деформаций в этой зоне при ковке. С увеличением продолжительности и числа промежуточных отжигов различия по структуре между зонами поковки для заэвтектических силуминов уменьшаются. Результаты количественного анализа микроструктуры сплава Al – 20 % Si в зависимости от степени горячей деформации (рис. 3) соответствуют литературным данным [20 - 22] об измельчении КПК, а также показывают значительное

увеличение объемной доли α-твердого раствора. Такое изменение соотношения структурных составляющих сплава находится в соответствии с процессами дегазации, протекающими при горячей ковке и отжиге силуминов. В то же время в результате холодной деформации повышается содержание водорода в сплавах и увеличивается объемная доля эвтектики.

Так, в структуре слитка из сплава Al – 11 % Si объемные доли твердого раствора и эвтектики составляли 34,8 и 65,2 % соответственно. После горячей ковки в микроструктуре определили уже 46,6 % а-твердого раствора и 53,4 % эвтектики, а микроструктура этого же сплава после холодной деформации состояла из 28,4 % твердого раствора и 71,6 % эвтектики. Отжиг деформированного металла приводит к увеличению объемной доли твердого раствора до 66,6 % при уменьшении доли эвтектики до 33,4 % (рис. 4). Для сплава, содержащего 20 % кремния, объемная доля твердого раствора увеличивается от 9 % в литом состоянии до 43,6 % в сплаве, подвергнутом горячей циклической деформации с последующим отжигом.

Указанные изменения микроструктуры, происходящие при горячей деформации и отжиге силуминов, определяются величиной степени деформации и позволяют говорить о растворении части кремния в с-твердом растворе алюминия. Рентгеноструктурный анализ образцов, вырезанных из силуминовых поковок, показал, что после горячей пластической деформации происходит некоторое уменьшение параметра решетки α-твердого раствора алюминия (см. таблицу). Такое уменьшение параметра решетки с-тверлого раствора в заэвтектических силуминах можно объяснить одновременным протеканием нескольких процессов при горячей деформации. Прежде всего происходит растворение части кремния в алюминиевой матрице, при этом уменьшается параметр ее кристаллической решетки. Это уменьшение связано с тем, что кремний образует в алюминии твердый раствор замещения, а радиус его атома меньше, чем у атома основы [23]. Наряду с этим при разложении кристаллов кремния под действием температуры и напряжений, возникающих при деформации, происходит выделение водорода, растворенного в них и находящегося на межфазных границах, в твердый раствор и последующий его выход из решетки алюминия в атмосферу.

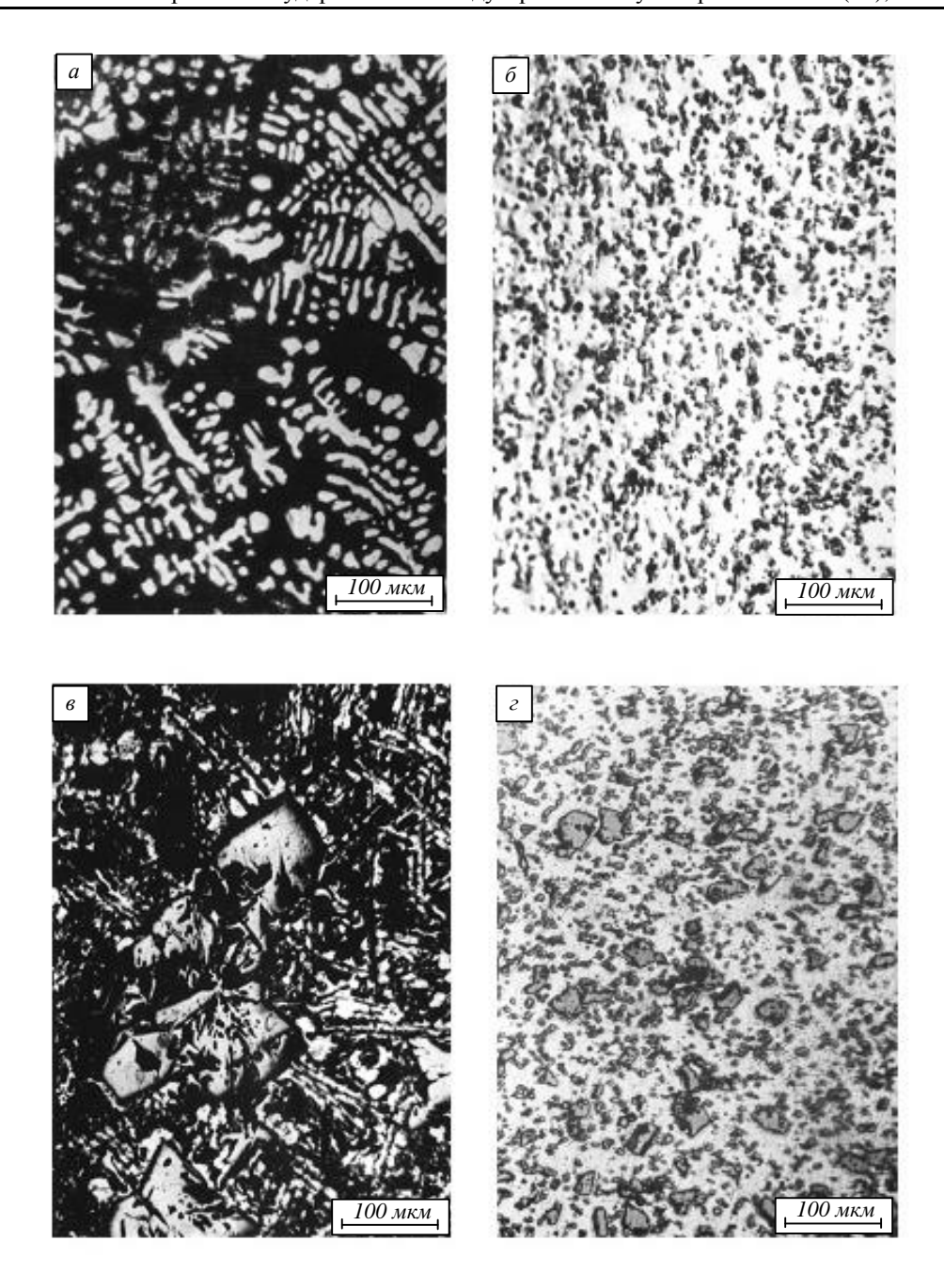


Рис. 2. Микроструктура силуминов с 11 % Si  $(a, \delta)$  и 20 % Si  $(s, \epsilon)$  в литом состоянии (a, s) и после гомогенизирующего отжига при 500 °C в течение 2 ч последующей горячей ковки  $(K_{\text{обш}} = 28)$  и отжига при 520 °C в течение 2 ч  $(\delta, \epsilon) \times 120$ 

Если переход водорода в α-твердый раствор алюминия увеличивает параметр решетки последнего, то удаление его в атмосферу оказывает противоположное действие. Данные по микротвердости α-твердого раствора алюминия для силуминов с содержанием кремния 11 – 25 % подтвердили возможность его упрочнения за счет растворения в нем части кремния в процессе деформации сплавов. Для заэвтектических силуминов упрочнение твердого раствора после деформации составило 8 – 17 %, а для эвтектического состава – 6 % (см. таблицу). Результаты определения механических характеристик при растяжении образцов, изготовлен-

ных из литых и горячедеформированных силуминов после отжига, приведены на рис. 5. Можно констатировать, что горячая деформация совместно с отжигами положительно влияет на механические свойства силуминов, особенно на пластичность, что, в первую очередь, связано с измельчением и сфероидизацией первичных и эвтектических выделений  $\beta$ -Si. Так, поковки, полученные из силуминов с содержанием кремния 20-30% ( $K_{\text{общ}}=28$ ), имеют временное сопротивление разрыву на 15-75% выше, чем сплавы в литом состоянии. Отсутствие прироста прочности для поковок, содержащих 11 и 15% кремния, можно

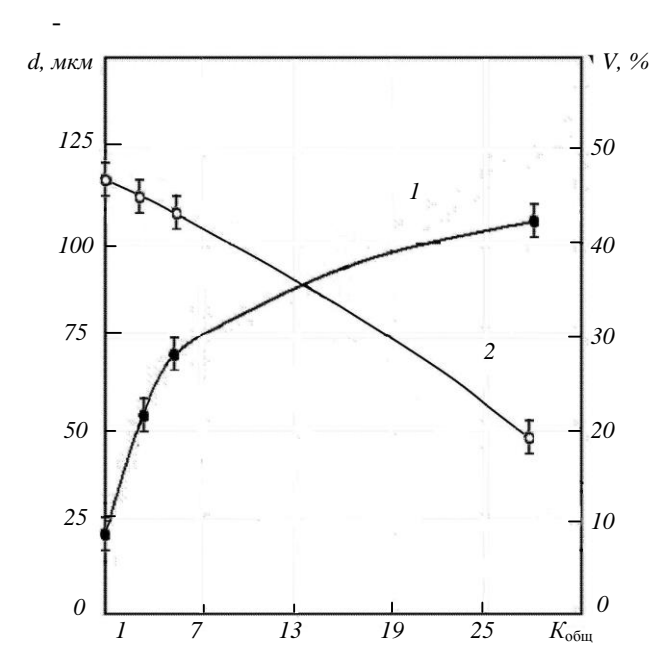


Рис. 3. Изменение объемной доли  $\alpha$ -твердого раствора V(I) и среднего размера КПК d (2) в зависимости от общего коэффициента укова ( $K_{\text{общ}} = 28$ ) для сплава Al -20 % Si

объяснить влиянием динамической рекристаллизации, протекающей при температуре горячей деформации и снижающей эффект наклепа и измельчения КПК, тем более, что в структуре эвтектического силумина они отсутствуют (Al -11 % кремния), а в сплаве с 15 % кремния

их доля незначительна. Наиболее существенно после отжигов и горячей ковки повышается пластичность силуминов.

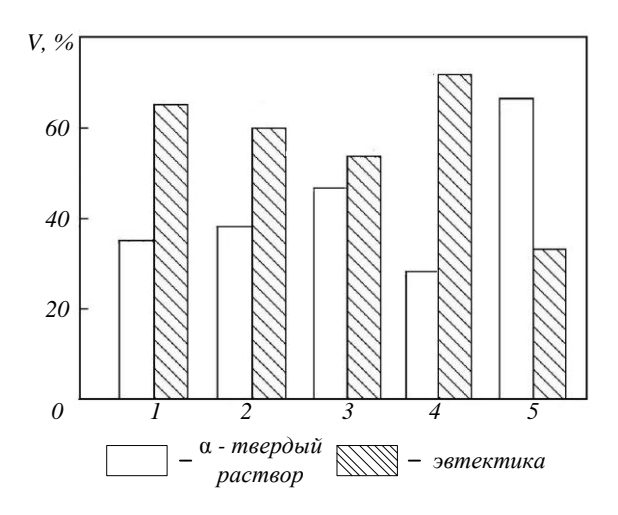


Рис. 4. Зависимость объемных долей (V)  $\alpha$ -твердого раствора и эвтектики (Al + Si) в сплаве Al - 11% Si от его состояния:

I — литое; 2 — после отжига при 500 °C в течение 2 ч; 3 — после отжига при 500 °C в течение 2 ч и горячей ковки; 4 — после отжига при 500 °C в течение 2 ч и холодной ковки; 5 — после постдеформационного отжига при 520 °C в течение 2 ч

Влияние горячей пластической деформации ( $K_{ m o 6m}$ = 28) на микротвердость ( $H_{ m \mu}$ ) и параметр
решетки $\alpha$ -твердого раствора алюминия $(a)$ в силуминах

Сплав*	$H_{\mu}$ , МПа	a, HM
Al – 11 % Si	520	0,40580
	551	0,40556
Al – 15 % Si	548	0,40573
	644	0,40556
Al – 20 % Si	558	0,40550
	630	0,40525
Al – 25 % Si	499	0,40515
	542	0,40488

Так, в несколько раз увеличивается относительное удлинение, достигая для эвтектического силумина значений, превышающих 16%, а для поковок из заэвтектических силуминов -5-14%. Такой характер изменения механических свойств силуминов при их деформации согласуется с результатами работ [3, 20].

**Выводы.** Горячая деформация высококремнистых силуминов приводит к измельчению и сфероидизации первичных и эвтектических

кристаллов  $\beta$ -Si, а также к увеличению в структуре объемной доли  $\alpha$ -твердого раствора. Указанные изменения структуры эвтектических и заэвтектических силуминов обеспечивают значительное повышение их механических характеристик, особенно пластических, что открывает широкие перспективы использования этих сплавов в деформированном состоянии.

## БИБЛИОГРАФИЧЕСКИЙ СПИСОК

- **1.** Воронов С.М., Саморуков И.А. Исследование сплавов типа силумин. М.: Металлургиздат, 1933. 100 с.
- 2. Эскин Г.И., Артес А.Е., Панов Е.И. и др. Исследование технологии изготовления деформированных полуфабрикатов из заэвтектических силумина 01392 с использованием поперечно-винтовой прокатки // Технология легких сплавов. 2008. № 1. С. 83 89.
- 3. Панов Е.И., Эскин Г.И. Влияние поперечновинтовой прокатки на структуру и свойства заэвтектических силуминов // МиТОМ. 2004. № 9. С. 7-13.
- **4.** Прудников А.Н. Поршневые деформируемые заэвтектические силумины // Технология металлов. 2014. № 2. С. 8 11.
- **5.** Афанасьев В.К., Прудников А.Н., Перетятько В.Н. Оценка пластичности и сопротивления деформации заэвтектического

- поршневого силумина // Изв. вуз. Цветная металлургия. 2003. № 2. С. 23 25.
- **6.** Афанасьев В.К., Прудников А.Н. Разработка состава поршневого заэвтектического силумина // Изв. вуз. Черная металлургия. 1998. № 4. С. 35 – 37.
- 7. Эскин Г.И., Пименов Ю.П. Получение деформированных полуфабрикатов из заэвтектических силуминов // Технология легких сплавов. 1996. № 2. С. 51 55.
- 8. Прудников А.Н. Технология производства, структура и свойства поршней двигателей из заэвтектического деформируемого силумина // Изв. вуз. Черная металлургия. 2009. № 5. С. 45 48.
- 9. Афанасьев К.В., Прудников А.Н., Горшенин А.В. Технология получения слитков, деформированных заготовок и поршней из заэвтектического жаропрочного силумина и их свойства // Обработка металлов. 2010. № 3. С. 28 31.

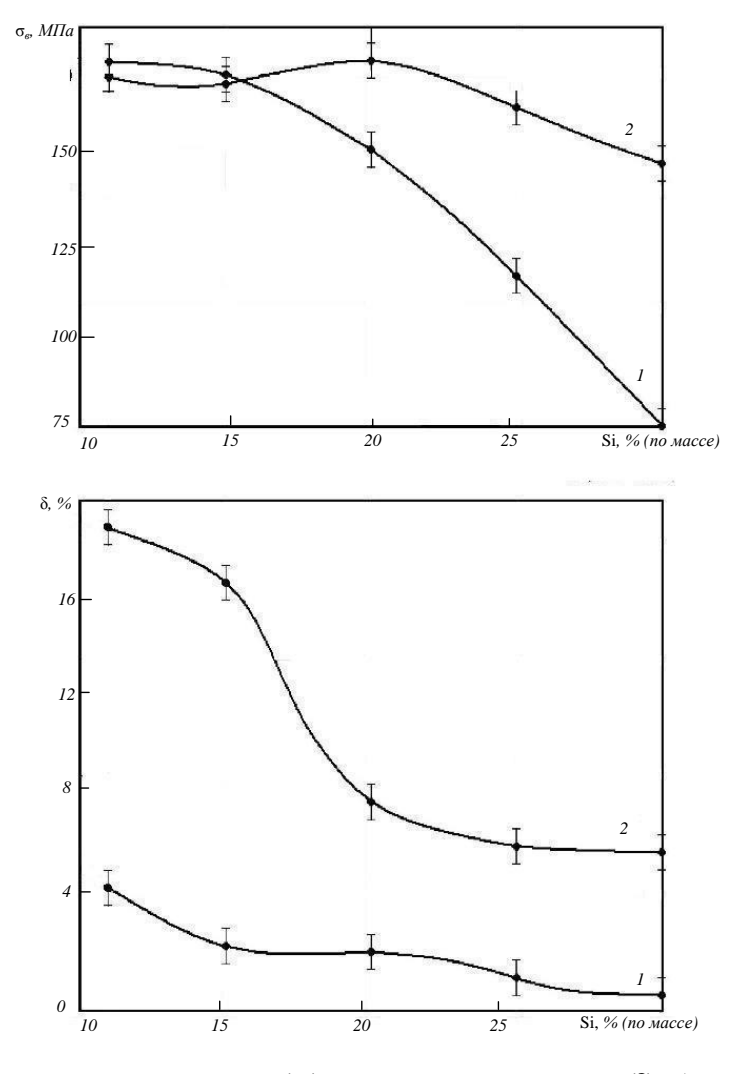


Рис. 5. Зависимость временного сопротивления разрыву ( $\sigma_{\rm B}$ ) и относительного удлинения ( $\delta$ ) образцов из силуминов в литом состоянии (I) и после отжига при 500 °C в течение 2 ч и горячей ковки ( $K_{\rm общ} = 28$ ) (2)

- 10.Прудников А.Н., Прудников В.А. Формирование структуры заэвтектического силумина при литье слитков полунепрерывным способом // Актуальные проблемы в машиностроении. 2017. Т. 4. № 3. С. 78 83.
- **11.**Prudnikov A.N. Deformable heatproof transeutectic sillumin for pistons // Steel in Translation. 2009. Vol. 39. No. 6. P. 456 459.
- 12.Прудников А.Н., Прудников В.А. Использование термоциклической деформации для получения полуфабрикатов из заэвтектических силуминов. В кн.: Металлургия: технологии, инновации, качество. Сб. материалов XIX Международной научно-практич. конф. Новокузнецк: изд. СибГИУ, 2015. С. 15 18.
- **13.** Газы и окислы в алюминиевых деформируемых сплавах. / В.И. Добаткин, Р.М. Габидуллин, Б.А. Колачев и др. М.: Металлургия, 1976. 264 с.
- **14.**Гельд П.В., Рябов Р.А. Водород в металлах и сплавах. М.: Металлургия, 1974. 272 с.
- **15.**Колачев Б.А. Водород в металлах и сплавах // МиТОМ. 1999. № 3. С. 3 11.
- 16. Чернега Д.Ф. Массоперенос водорода в алюминии и сплавах на его основе. В кн.: Водородная экономика и водородная обработка материалов. Сб. трудов V межд. конф. Донецк, Украина 21-25 мая .2007. Донецк: ДонНГУ, 2007. Т. 2. С. 651 654.
- **17.** Прудников А.Н. Роль условий кристаллизации в формировании структуры и свойств слитков и поковок из заэвтектических силу-

- минов // Материаловедение. 2014. № 1. С. 10 13.
- **18.** Прудников А.Н. Структурно-технологические основы разработки прецизионных силуминов с регламентированным содержанием водорода: Автореф. дис....д-ра техн. наук: 05.16.09. Новосибирск, 2013. 40 с.
- **19.**Prudnikov A.N. Formation of eutectic structure in Al-20 % Si alloy during crystallization // Металлургия машиностроения. 2009. № 4. С. 10 13.
- **20.** Елисеев А.Н., Щерба В.Н., Эскин Г.И и др. Особенности горячего прессования заэвтектических силуминов // Изв. вуз. Цветная металлургия. 1996. № 4. С. 25 29.
- **21.**Прудников А.Н. Комплексное воздействие отжигов и термоциклической ковки на структуру и свойства заэвтектических силуминов // Деформация и разрушение материалов. 2014. № 2. С. 14 20.
- 22. Прудников А.Н., Бочкарева Ю.В. Формирование структуры поршневого алюминиевокремниевого сплава в процессе получения заготовок. В кн.: Физика твердого тела. Сб. материалов VI Российской научн. конф. Томск: изд. ТГУ, 1998. 39 с.
- **23.**Шаскольская М.П. Кристаллография. М.: Высшая школа, 1976. 391 с.

© 2017 г. А.Н. Прудников, М.В. Попова, В.А. Прудников Поступила 25 августа 2017 г.